

Geofísica Computacional Aplicada

Equação da Onda Sísmica

Carlos H. S. Barbosa¹
José Luis Drummond Alves

31 de Julho de 2023



¹clshenry@lamce.coppe.ufrj.br

» UNIVERSIDADE FEDERAL DO RIO DE JANEIRO

CONTATOS:

- José Luis Drummond Alves
- Contato: jalves@lamce.coppe.ufrj.br

- Carlos Henrique dos Santos Barbosa
- Contato: clshenry@lamce.coppe.ufrj.br

- Bruno Souza Silva
- Contato: brunosi@lamce.coppe.ufrj.br

PRINCIPAIS REFERÊNCIAS:

- LeVeque, R. J. Finite difference methods for ordinary and partial differential equations: steady-state and time-dependent problems. Society for Industrial and Applied Mathematics, 2007.
- Barbosa, C. H. S. Advanced Computational Strategies for Reverse Time Migration (Doctoral dissertation, Federal University of Rio de Janeiro), 2023.

REFERÊNCIAS COMPLEMENTARES:

- Chapman, C. Fundamentals of seismic wave propagation. Cambridge university press, 2004.
- Bartolo, L. D. Propagação de ondas aplicadas ao mapeamento geológico: formulação acústica. Revista Brasileira de Ensino de Física, 43, 2021.

» UM POUCO MAIS SOBRE DISCRETIZAÇÃO COM DIFERENÇAS FINITAS

- Diferenças finitas implícita e explícita

» DISCRETIZAÇÃO DA EQUAÇÃO DA ONDA SÍSMICA

- Formulação da equação da onda acústica
- Discretização das derivadas temporal e espaciais
- Equação da onda acústica discretizada

» IMPLEMENTAÇÃO COMPUTACIONAL

» ATIVIDADES PRÁTICAS

- Atividade 1: o sinal sísmico
- Atividade 2: discretização espacial de alta ordem
- Atividade 3: o sismograma - aquisição de spread fixo

UM POUCO MAIS SOBRE DISCRETIZAÇÃO COM DIFERENÇAS FINITAS

Diferenças Finitas Implícita e Explícita

Diferenças Finitas Implícito e Explícito

Esquema de Diferenças Finitas Explícito

$$y_{n+1} = x_n + f(y_n)$$

- O esquema de diferenças finitas é dito explícito se pode ser calculado iterativamente a partir de quantidades previamente calculadas em passos (de tempo) anteriores.

Esquema de Diferenças Finitas Implícito

$$y_{n+1} = x_n + f(y_{n+1})$$

- O esquema de diferenças finitas é dito implícito se as saídas da atualização y_{n+1} dependem de si mesmas.
- São geralmente formulados como um sistema de equações $Ax = b$.

Diferenças Finitas Implícito e Explícito

» A discretização por diferenças finitas da equação da onda sísmica no domínio do tempo conduz à um esquema explícito.

Equação da Onda no Domínio do Tempo

$$\nabla^2 p(\mathbf{r}, t) - \frac{1}{v^2(\mathbf{r})} \frac{\partial^2 p(\mathbf{r}, t)}{\partial t^2} = 0,$$

» Por outro lado, a discretização por diferenças finitas da equação da onda sísmica no domínio da frequência conduz à um esquema implícito.

Equação da Onda no Domínio da Frequência

$$\nabla^2 P(\mathbf{r}, \omega) + \frac{\omega^2}{v^2(\mathbf{r})} P(\mathbf{r}, \omega) = 0$$

DISCRETIZAÇÃO DA EQUAÇÃO DA ONDA SÍSMICA

Formulação da Equação da Onda Acústica

Formulação: Equação da Onda Acústica

$$\nabla^2 p(\mathbf{r}, t) - \frac{1}{v^2(\mathbf{r})} \frac{\partial^2 p(\mathbf{r}, t)}{\partial t^2} = \frac{\partial^2 i_v(\mathbf{r}, t)}{\partial t^2} \delta(\mathbf{r} - \mathbf{r}_s),$$

- $\mathbf{r} = (r_x, r_y, r_z)$ é o vetor posição definido no domínio $\Omega \subset \mathbb{R}^{n_{sd}}$, $n_{sd} = 2, 3$,
- $t \in [0, T]$ é o tempo,
- $p(\mathbf{r}, t)$ é o campo de pressão,
- $v(\mathbf{r})$ é o campo de velocidades,
- i_v a fonte sísmica na posição $\mathbf{r} = \mathbf{r}_s$,
- δ é a delta de Dirac,
- $p(\mathbf{r}, 0) = \partial p(\mathbf{r}, 0) / \partial t = 0$ para $\mathbf{r} \in \Omega$ são as condições iniciais e $p(\mathbf{r}, t) = 0$ em $\partial\Omega$ a condição de contorno.

Discretização das Derivadas Temporal e Espaciais

» DISCRETIZAÇÃO POR DIFERENÇAS FINITAS DA DERIVADA DE SEGUNDA ORDEM

$$\frac{\partial^2 f}{\partial i^2} \approx \frac{1}{\Delta i^2} \left[c_0 f_0 + \sum_{m=1}^{N/2} c_m (f_m + f_{-m}) \right],$$

- c_m são os coeficientes da discretização da derivada de segunda ordem,
- i diz respeito a variável de interesse,
- N é a ordem de discretização da derivada.
 - $N = 2$ » diferença finita de segunda ordem,
 - $N = 4$ » diferença finita de quarta ordem,
 -

Discretização das Derivadas Temporal e Espaciais

Escolhendo $N = 2$ para a discretização da derivada de segunda ordem, tem-se:

$$\frac{\partial^2 f}{\partial i^2} \approx \frac{1}{\Delta i^2} \left[c_0 f_0 + \sum_{m=1}^{2/2} c_m (f_m + f_{-m}) \right],$$

Expandindo:

$$\frac{\partial^2 f}{\partial i^2} \approx \frac{1}{\Delta i^2} [c_0 f_0 + c_1 (f_1 + f_{-1})],$$

Que é discretização centrada de segunda ordem, que vimos nas aulas anteriores.

Discretização das Derivadas Temporal e Espaciais

A função que iremos derivar é o campo de pressão $p(x, y, z, t)$. Além disso, a derivada será aplicada para todas as variáveis, ou seja,

$$\frac{\partial^2 p(x, y, z, t)}{\partial t^2}; \frac{\partial^2 p(x, y, z, t)}{\partial x^2}; \frac{\partial^2 p(x, y, z, t)}{\partial y^2}; \frac{\partial^2 p(x, y, z, t)}{\partial z^2}$$

Utilizando a derivada centrada de segunda ordem, tem-se a aproximação para a derivada temporal:

$$\frac{\partial^2 p(x, y, z, t)}{\partial t^2} \approx \frac{1}{\Delta t^2} [c_0 p(x, y, z, t) + c_1 (p(x, y, z, t + \Delta t) + p(x, y, z, t - \Delta t))],$$

onde Δt é denominado taxa de variação temporal.

Discretização das Derivadas Temporal e Espaciais

Já as aproximações para as derivadas espaciais, assumindo uma malha espacial regular $h = \Delta x = \Delta y = \Delta z$, são:

$$\frac{\partial^2 p(x, y, z, t)}{\partial x^2} \approx \frac{1}{h^2} [c_0 p(x, y, z, t) + c_1 (p(x + h, y, z, t) + p(x - h, y, z, t))],$$

$$\frac{\partial^2 p(x, y, z, t)}{\partial y^2} \approx \frac{1}{h^2} [c_0 p(x, y, z, t) + c_1 (p(x, y + h, z, t) + p(x, y - h, z, t))],$$

$$\frac{\partial^2 p(x, y, z, t)}{\partial z^2} \approx \frac{1}{h^2} [c_0 p(x, y, z, t) + c_1 (p(x, y, z + h, t) + p(x, y, z - h, t))],$$

Discretização das Derivadas Temporal e Espaciais

Seja $p_{i,j,k}^n$ a representação mais compacta da função que representa o campo de pressão $p(x, y, z, t)$.

$$\frac{\partial^2 p(x, y, z, t)}{\partial t^2} \approx \frac{1}{\Delta t^2} [c_0 p_{i,j,k}^n + c_1 (p_{i,j,k}^{n+\Delta t} + p_{i,j,k}^{n-\Delta t})],$$

$$\frac{\partial^2 p(x, y, z, t)}{\partial x^2} \approx \frac{1}{h^2} [c_0 p_{i,j,k}^n + c_1 (p_{i+h,j,k}^n + p_{i-h,j,k}^n)],$$

$$\frac{\partial^2 p(x, y, z, t)}{\partial y^2} \approx \frac{1}{h^2} [c_0 p_{i,j,k}^n + c_1 (p_{i,j+h,k}^n + p_{i,j-h,k}^n)],$$

$$\frac{\partial^2 p(x, y, z, t)}{\partial z^2} \approx \frac{1}{h^2} [c_0 p_{i,j,k}^n + c_1 (p_{i,j,k+h}^n + p_{i,j,k-h}^n)],$$

Discretização das Derivadas Temporal e Espaciais

Voltando a equação da onda sísmica:

$$\nabla^2 p(\mathbf{r}, t) - \frac{1}{v^2(\mathbf{r})} \frac{\partial^2 p(\mathbf{r}, t)}{\partial t^2} = \frac{\partial^2 i_v(\mathbf{r}, t)}{\partial t^2} \delta(\mathbf{r} - \mathbf{r}_s),$$

Substituindo as diferenças finitas para cada derivada e assumindo que $v_{i,j,k}$ é a representação discreta para o campo de velocidades $v(\mathbf{r})$ e que $f_{i,j,k}^n$ a representação discreta para a derivada segunda da fonte sísmica $\partial^2 i_v(\mathbf{r}, t)/\partial t^2$, temos:

$$\begin{aligned} & \frac{1}{h^2} [c_0 p_{i,j,k}^n + c_1 (p_{i+h,j,k}^n + p_{i-h,j,k}^n)] \\ & + \frac{1}{h^2} [c_0 p_{i,j,k}^n + c_1 (p_{i,j+h,k}^n + p_{i,j-h,k}^n)] \\ & + \frac{1}{h^2} [c_0 p_{i,j,k}^n + c_1 (p_{i,j,k+h}^n + p_{i,j,k-h}^n)] \\ & - \frac{1}{v_{i,j,k}} \frac{1}{\Delta t^2} [c_0 p_{i,j,k}^n + c_1 (p_{i,j,k}^{n+\Delta t} + p_{i,j,k}^{n-\Delta t})] = f_{i,j,k}^n \end{aligned}$$

Discretização das Derivadas Temporal e Espaciais

Rearranjando os termos chega-se à expressão discretizada da equação da onda sísmica para o caso tridimensionais (3D):

$$p_{i,j,k}^{n+\Delta t} = C_{i,j,k} [3.0 * c_0 * p_{i,j,k}^n + \\ c_1 (p_{i+h,j,k}^n + p_{i-h,j,k}^n + p_{i,j+h,k}^n + p_{i,j-h,k}^n + p_{i,j,k+h}^n + p_{i,j,k-h}^n) + \\ 2.0 * p_{i,j,k}^n - p_{i,j,k}^{n-\Delta t} + v_{i,j,k}^2 * f_{i,j,k}^n,$$

onde $C_{i,j,k} = (v_{i,j,k} \Delta t / h)^2$ e os coeficientes das diferenças finitas $c_0 = -2.0$ e $c_1 = 1.0$.

» Para o caso bidimensional (2D):

$$p_{i,k}^{n+\Delta t} = C_{i,k} [2.0 * c_0 * p_{i,k}^n + \\ c_1 (p_{i+h,k}^n + p_{i-h,k}^n + p_{i,k+h}^n + p_{i,k-h}^n) + \\ 2.0 * p_{i,k}^n - p_{i,k}^{n-\Delta t} + v_{i,k}^2 * f_{i,k}^n,$$

onde $C_{i,k} = (v_{i,k} \Delta t / h)^2$

Sistema de Coordenadas da Malha de Diferenças Finitas

- » Domínio $\Omega = [0, dimZ] \times [0, dimX] \subset \mathbb{R}^2$
- » Eixo X: Extensão do Domínio (dimX: quantidade de pontos no eixo X)
- » Eixo Z: Profundidade do Domínio (dimZ: quantidade de pontos no eixo Z)



IMPLEMENTAÇÃO COMPUTACIONAL

Descrição das Variáveis do Problema

<code>h</code>	<i># espaçamento da malha (m)</i>
<code>dt</code>	<i># taxa de variação temporal (s)</i>
<code>dimX</code>	<i># extensão do domínio</i>
<code>dimZ</code>	<i># profundidade do domínio</i>
<code>Ntotal</code>	<i># tempo total discreto</i>
<code>cut_frequency</code>	<i># frequência de corte (Hz)</i>
<code>seismic_souce = np.zeros(Ntotal)</code>	<i># fonte sísmica</i>
<code>velocity = np.zeros((dimZ, dimX))</code>	<i># campo de velocidades</i>
<code>C = np.zeros((dimZ, dimX))</code>	<i># matriz auxiliar</i>
<code>wavefield01 = np.zeros((dimZ, dimX))</code>	<i># campo de pressão em $n - dt$</i>
<code>wavefield02 = np.zeros((dimZ, dimX))</code>	<i># campo de pressão em n</i>
<code>wavefield03 = np.zeros((dimZ, dimX))</code>	<i># campo de pressão em $n + dt$</i>
<code>seismic_signal = np.zeros(Ntotal)</code>	<i># sinal sísmico em 1 receptor</i>
<code>shot_x, shot_z</code>	<i># posicionamento fonte sísmica</i>
<code>rec_x, rec_z</code>	<i># posicionamento receptores</i>

Kernel Propagação do Campo de Ondas

```
for n in range(0, Ntotal):

    #kernel da equação da onda sísmica
    for i in range(1, dimZ - 1):
        for k in range(1, dimX - 1):
            wavefield03[i,k] = C[i,k] * (2.0*c[0]*wavefield02[i, k]
                                           + c[1]*(wavefield02[i,k-1] + wavefield02[i,k+1]
                                           + wavefield02[i-1,k] + wavefield02[i+1,k]))
                                           + 2.0*wavefield02[i,k] - wavefield01[i,k]

        wavefield02[shot_z,shot_x] = wavefield02[shot_z,shot_x]
                                   + fonte[n]*(velocity[shot_z,shot_x]**2)

    seismic_signal[n] = wavefield02[rec_z,rec_x]

    # Atualização do campo de onda
    wavefield01 = np.copy(wavefield02)
    wavefield02 = np.copy(wavefield03)
```

Inicialização Variáveis Auxiliares

» Campo de velocidades, coeficiente de diferenças finitas e matriz auxiliar $C_{i,k}$.

```
# campo de velocidades
for i in range(0, dimZ):
    for k in range(0, dimX):
        velocity[i][k] = 2000.0
```

```
# coeficiente de diferenças finitas
c = (-2.0, 1.0)                                # para a discretização de segunda ordem
```

```
# matriz auxiliar
for i in range(0, dimZ):
    for k in range(0, dimX):
        C[i,k] = (velocity[i,k]*dt/h)**2
```

Inicialização Variáveis Auxiliares

Fonte sísmica: Derivada segunda da função Gaussiana.
Necessário definir a frequência de corte.

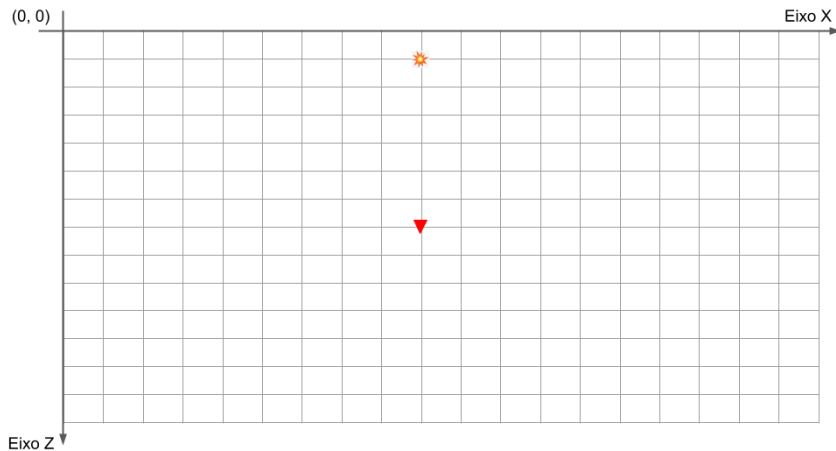
```
# fonte sísmica
t = np.zeros(Ntotal)                                # matriz de tempos
TF = 2 * sqrt(pi) / cut_frequency                   # Período da função Gaussiana
fc = cut_frequency / (3. * sqrt(pi))                 # Frequência central

for n in range(Ntotal):
    t[n] = ((n) * dt - TF)
    fonte[n] = -(-exp(-pi * (pi * fc * t[n]) ** 2)
                * (1 - 2 * pi * (pi * fc * t[n])
                  * (pi * fc * t[n])) )
```

ATIVIDADES PRÁTICAS

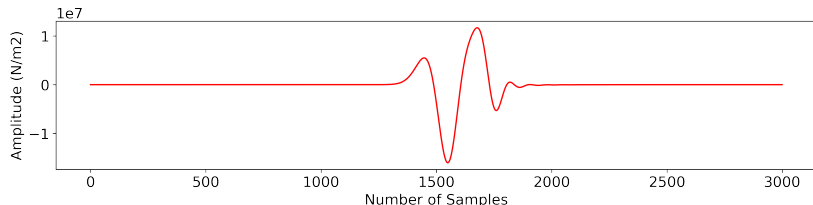
Atividade 1: O Sinal Sísmico

- » Campo de velocidades constante e igual a 1500 m/s
- » Propagação do campo de ondas considerando uma fonte sísmica
- » Registro do campo de ondas em um único receptor



Atividade 1: O Sinal Sísmico

- » Dimensão do domínio: $\Omega = [0, 300] \times [0, 200]$
- » Localização da fonte sísmica: $[\text{shot_x}, \text{shot_z}] = [150, 5]$
- » Localização do receptor: $[\text{rec_x}, \text{rec_z}] = [150, 100]$



Atividade 2: Discretização Espacial de Alta Ordem

» Discretização da equação da onda sísmica para o caso bidimensional (2D) utilizando as diferenças finitas de segunda ordem no tempo e quarta ordem no espaço:

$$\begin{aligned} p_{i,k}^{n+\Delta t} = C_{i,k} [& 2.0 * c_0 * p_{i,k}^n \\ & + c_1 (p_{i+h,k}^n + p_{i-h,k}^n + p_{i,k+h}^n + p_{i,k-h}^n) \\ & + c_2 (p_{i+2h,k}^n + p_{i-2h,k}^n + p_{i,k+2h}^n + p_{i,k-2h}^n)] \\ & + 2.0 * p_{i,k}^n - p_{i,k}^{n-\Delta t} + v_{i,k}^2 * f_{i,k}^n, \end{aligned}$$

onde $C_{i,k} = (v_{i,k} \Delta t / h)^2$ e os coeficientes das diferenças finitas $c_0 = -5/3$, $c_1 = 4/3$ e $c_2 = -1/12$.

Atividade 2: Discretização Espacial de Alta Ordem

```
c = (-5.0/2.0, 4.0/3.0, -1.0/12.0)      # coeficiente de diferenças finitas

for n in range(0, Ntotal):
    #kernel da equação da onda sísmica
    for i in range(2, dimZ - 2):
        for k in range(2, dimX - 2):
            wavefield03[i,k] = C[i,k] * (2.0*c[0]*wavefield02[i, k]
                                           + c[1]*(wavefield02[i,k-1] + wavefield02[i,k+1]
                                           + wavefield02[i-1,k] + wavefield02[i+1,k])
                                           + c[2]*(wavefield02[i,k-2] + wavefield02[i,k+2]
                                           + wavefield02[i-2,k] + wavefield02[i+2,k]))
                                           + 2.0*wavefield02[i,k] - wavefield01[i,k]

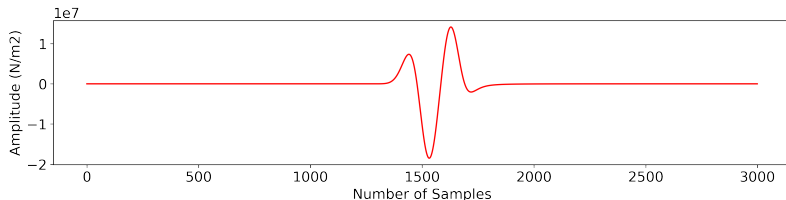
            wavefield02[shot_z,shot_x] = wavefield02[shot_z,shot_x]
                                           + fonte[n]*(velocity[shot_z,shot_x]**2)

seismic_signal[n] = wavefield02[rec_z,rec_x]

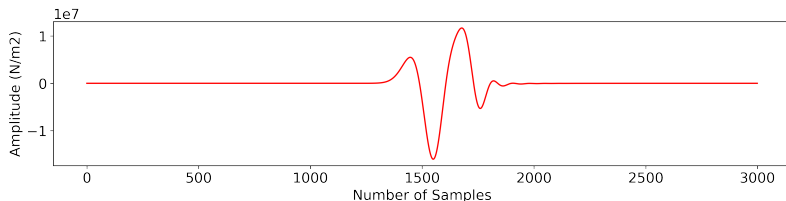
# Atualização do campo de onda
wavefield01 = np.copy(wavefield02)
wavefield02 = np.copy(wavefield03)
```

Atividade 2: O Sinal Sísmico

» Sinal sísmico para a discretização de quarta ordem no espaço

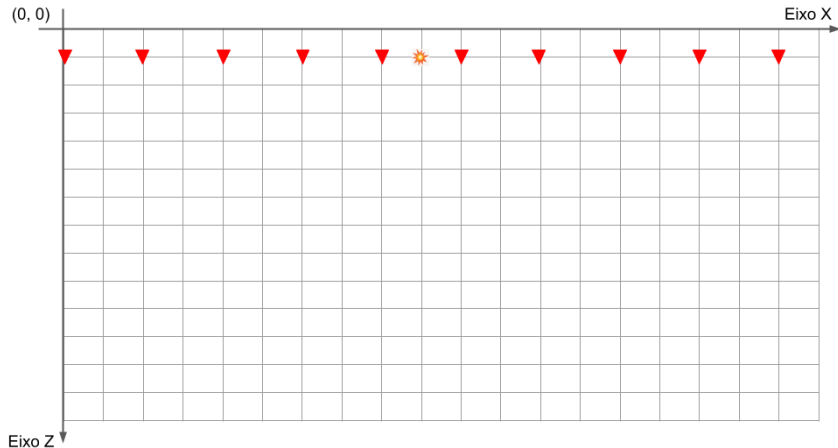


» Sinal sísmico para a discretização de segunda ordem no espaço



Atividade 3: O Sismograma - Aquisição de Spread Fixo

- » Campo de velocidades constante e igual a 1500 m/s
- » Propagação do campo de ondas considerando uma fonte sísmica
- » Registro do campo de ondas em receptores expalhados ao redor da localização da fonte sísmica



Atividade 3: O Sismograma - Aquisição de Spread Fixo

```
c = (-5.0/2.0, 4.0/3.0, -1.0/12.0)           # coeficiente de diferenças finitas

for n in range(0, Ntotal):
    #kernel da equação da onda sísmica
    for i in range(2, dimZ - 2):
        for k in range(2, dimX - 2):
            wavefield03[i,k] = C[i,k] * (2.0*c[0]*wavefield02[i, k]
                + c[1]*(wavefield02[i,k-1] + wavefield02[i,k+1]
                    + wavefield02[i-1,k] + wavefield02[i+1,k])
                + c[2]*(wavefield02[i,k-2] + wavefield02[i,k+2]
                    + wavefield02[i-2,k] + wavefield02[i+2,k]))
                + 2.0*wavefield02[i,k] - wavefield01[i,k]

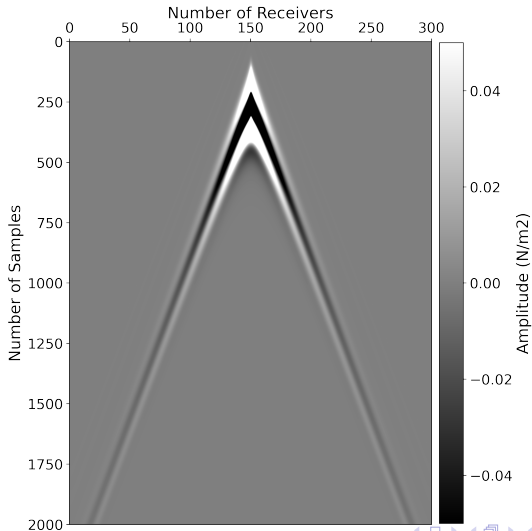
            wavefield02[shot_z,shot_x] = wavefield02[shot_z,shot_x]
                + fonte[n]*(velocity[shot_z,shot_x]**2)

        for irec in range (dimX):
            seismogram[n, irec] = wavefield03[rec_z,irec]

# Atualização do campo de onda
wavefield01 = np.copy(wavefield02)
wavefield02 = np.copy(wavefield03)
```

Atividade 3: O Sismograma - Aquisição de Spread Fixo

- » Localização da fonte sísmica: $[\text{shot_x}, \text{shot_z}] = [150, 5]$
- » Localização do receptor: $\text{rec_x} = [0, \text{dimX}]$, $\text{rec_z} = 5$



Exercícios

1. Utilizar o código de propagação da onda sísmica para simular a propagação do campo de ondas em um modelo de velocidades de camadas paralelas.
2. Utilizar o código de propagação da onda sísmica para simular uma aquisição do tipo split-spread. Utilize o modelo de velocidades de camadas paralelas.
3. Utilizar o código de propagação da onda sísmica para simular uma aquisição do tipo end-on. Utilize o modelo de velocidades de camadas paralelas.
4. Utilizar o código de propagação da onda sísmica para simular uma aquisição do tipo Ocean Bottom Cable (OBC). Utilize o modelo de velocidades de camadas paralelas.